

# Управление в социально-экономических системах

© 2024 г. Г.И. АЛГАЗИН, д-р физ.-мат. наук (algaz46@yandex.ru),  
Д.Г. АЛГАЗИНА, канд. техн. наук (darya.algazina@mail.ru)  
(Алтайский государственный университет, Барнаул)

## АГРЕГИРОВАННЫЕ ОЦЕНКИ ДИНАМИКИ РЕФЛЕКСИВНОГО КОЛЛЕКТИВНОГО ПОВЕДЕНИЯ В МОДЕЛИ ОЛИГОПОЛИИ КУРНО

Рассматривается модель олигополии с произвольным числом агентов, рефлексирующих по Курно в условиях неполной информации, для классического случая линейных функций издержек и спроса. Агенты принимают решения, основываясь на модели коллективного поведения. В исследовании проблемы выявления условий сходимости к равновесию этой модели акцент сделан на траектории суммы невязок действий всех агентов. Получены агрегированные оценки динамики этой траектории, позволяющие судить о движении к положению равновесия траектории каждого из агентов.

*Ключевые слова:* олигополия Курно, рефлексивное поведение, невязки, агрегированные оценки, условия сходимости.

**DOI:** 10.31857/S0005231024090079, **EDN:** ZQONU1

### 1. Введение

Научные направления, в рамках которых исследуются модели поведения рациональных агентов в условиях неполной информации, существенное внимание уделяют рынку олигополии. Теория игр стала первым научным методом анализа олигополии [1]. С обзором новейших достижений в теории игр олигополии можно ознакомиться в [2].

Модели теории коллективного поведения дополняют модели теории игр тем, что предоставляют возможность исследования динамики поведения рациональных агентов при достаточно слабых предположениях об их информированности [3, 4]. Динамический процесс принятия агентом решений строится на основе рефлексивных размышлений о наилучшем собственном выборе, с учетом наилучших откликов остальных конкурентов. Развитие динамики направляется выбором агентов. Определяющим эффектом рефлексии является достижение равновесия [4, 5].

Значительное число исследований моделей теории игр и коллективного поведения на конкурентных рынках [6–16] и др. посвящено проблеме выявления условий существования равновесия, его единственности и сходимости к нему траекторий агентов.

Приняв ту или иную гипотезу о поведении агентов и их взаимодействии, можно детально рассчитать траекторию каждого из них. Однако агрегированное описание поведения системы в целом, не вдаваясь в подробное описание поведения каждого из агентов, представляется целесообразнее такого метода по ряду обстоятельств. Так понятно, что активность отдельных агентов в отдельные моменты времени не может оказывать сколько-нибудь заметного влияния на сходимость траекторий. К тому же рост числа агентов на рынке и их траекторий, времени на получение результата делают метод все менее привлекательным. В ряде случаев об асимптотической сходимости рассчитанных траекторий можно судить лишь через значительный промежуток времени, в частности, когда процесс развивается неоднозначно или медленно, и тенденция проявляется поздно. Интуитивно агрегированное описание коллективного поведения системы агентов на значительных временных промежутках может быть не менее точным, чем детализированное.

## 2. Формальная постановка задачи исследования

В качестве базовой рассматривается модель олигополии Курно [1], которая состоит из  $n$  конкурирующих объемами выпуска однородной продукции агентов. Считается, что спрос определен функцией вида (обратной функцией спроса в зависимости от совокупного выпуска агентов):

$$(1) \quad p(Q) = a - bQ,$$

где  $p(Q)$  – единая рыночная цена,  $Q = \sum_{i \in N} q_i$  – совокупный выпуск  $n$  агентов  $i \in N = \{1, \dots, n\}$ ,  $q_i$  – выпуск  $i$ -го агента,  $a$  и  $b$  – параметры. Параметр  $a$  характеризует максимально возможную цену товара, при которой объем спроса будет стремиться к нулю, а параметр  $b$  характеризует наклон кривой спроса.

Полные издержки агентов имеют вид

$$(2) \quad \phi_i(q_i) = c_i q_i + d_i,$$

где  $c_i, d_i$  – предельные и постоянные издержки  $i$ -го агента соответственно. Целевые функции агентов заданы выражением

$$(3) \quad \Pi_i(p(Q), q_i) = p(Q)q_i - \phi_i(q_i) \rightarrow \max_{q_i}.$$

Полагается, что весь выпуск реализуется, ограничения мощности и коалиции отсутствуют. Состояние рынка в момент времени  $t$  ( $t = 0, 1, 2, \dots$ ) задается  $n$ -мерным вектором  $q^t = (q_1^t, \dots, q_i^t, \dots, q_n^t)$ .

Агенты считаются в совокупности конкурентоспособными на рынке Курно, если для каждого агента выполняется ограничение на его предельные издержки

$$(4) \quad c_i < \frac{a + \sum_{j \in N \setminus \{i\}} c_j}{n}.$$

В этом случае каждый агент считается конкурентоспособным, а в модели олигополии Курно, как в игре в нормальной форме, равновесие  $q^* = (q_1^*, \dots, q_i^*, \dots, q_n^*)$  понимаемое как статическое равновесие Нэша [17], существует, единственно и  $q_i^* > 0 \forall i \in N$  (см., например, [18]).

В условиях игровой неопределенности (о действиях, выбираемых конкурентным окружением) и неполного знания (о затратах, целевых функциях и прочих атрибутах конкурентов) равновесие рынка, как правило, может быть достигнуто не в результате однократного принятия агентами решений, а как исход итерационного рефлексивного процесса [3, 4, 18–20].

Будем рассматривать рефлексивный дискретный процесс, когда смена состояний рынка удовлетворяет аксиоме индикаторного поведения [4] – в каждый момент (период, такт) времени  $(t + 1)$  каждый агент наблюдает объемы выпуска всех агентов, выбранные ими в предыдущий момент времени  $t$  и корректирует свой выпуск, делая шаг в направлении текущего положения цели  $x_i(q_{-i}^t)$  согласно следующей итерационной процедуре:

$$(5) \quad q_i^{t+1} = q_i^t + \gamma_i^{t+1}(x_i(q_{-i}^t) - q_i^t), \quad i \in N.$$

Здесь  $\gamma_i^{t+1} \in [0, 1]$  – параметр, независимо выбираемый каждым  $i$ -м агентом, определяет величину его шага к текущему положению своей цели. Агент может делать полный шаг, полагая  $\gamma_i^{t+1} = 1$ , тем самым выбирая свой наилучший ответ, «оставаться на месте», выбирая  $\gamma_i^{t+1} = 0$ , или делать «неполный шаг», если  $\gamma_i^{t+1} \in (0, 1)$ .

Текущее положение цели  $i$ -го агента  $x_i(q_{-i}^t)$  – это такой его объем выпуска, который максимизировал бы собственную целевую функцию при условии, что в текущий момент времени остальные агенты выбрали бы те же объемы выпуска, что и в предыдущий [4, 21]. Здесь  $q_{-i}^t = (q_1^t, \dots, q_{i-1}^t, q_{i+1}^t, \dots, q_n^t)$  – обстановка  $i$ -го агента (вектор объемов выпуска всех агентов в момент времени  $t$  за исключением  $i$ -го агента). Известно, что (см., например, [10, 18])

$$(6) \quad x_i(q_{-i}^t) = \frac{h_i - \sum_{j \neq i} q_j^t}{2} = \frac{h_i - Q_{-i}^t}{2}.$$

Здесь:

$h_i = \frac{a-c_i}{b}$  – объем совершенно конкурентного рынка при ценообразовании по предельным издержкам  $p(Q) = c_i$ , называемый «совершенно конкурентный объем фирмы  $i$ »;

$Q_{-i}^t = \sum_{j \neq i} q_j^t$  – суммарный выпуск «окружением»  $i$ -го агента ( $i, j \in N$ ).

Приведем вывод переменной  $x_i(q_{-i}^t)$ , чтобы показать ее соотношение с  $q_i^t$ . Используя (1)–(3) для  $t$ -го момента времени получаем

$$\frac{\partial \Pi_i^t}{\partial q_i^t} = a - bq_i^t - bQ_{-i}^t + \left( -b - b \frac{\partial Q_{-i}^t}{\partial q_i^t} \right) q_i^t - c_i = 0$$

и

$$q_i^t = \frac{(a - c_i)/b - Q_{-i}^t}{2 + \partial Q_{-i}^t / \partial q_i^t}.$$

По предположению Курно выпуск окружения агента не изменится, если он изменит свой выпуск. Поэтому  $\frac{\partial Q_{-i}^t}{\partial q_i^t} = 0$  и оптимальный выпуск агента  $q_i^t$  составит  $\frac{(a-c_i)/b - \sum_{j \in N \setminus \{i\}} q_j^t}{2}$ . Этот оптимальный выпуск будет являться текущим положением цели агента  $x_i(q_{-i}^t)$  в (6).

Для модели (5)–(6) под траекторией  $i$ -го агента понимается *реализованная* по этой модели последовательность объемов выпуска  $q_i^0, q_i^1, \dots, q_i^t, \dots$ .

Проблеме выявления условий сходимости к равновесию траекторий агентов, определяемых по (5)–(6), и ее модификациям в классической модели олигополии Курно (1)–(4) посвящено значительное число работ [18–20, 22–26] и др.

Особенность и новизна проведенного здесь исследования заключается в разработке агрегированного описания поведения системы в целом, позволяющего судить о движении к положению равновесия траектории каждого из агентов.

Проводимое исследование предполагает последовательное решение следующих задач:

- 1) приведение моделей агентов к однородному виду (форме);
- 2) исследование влияния суммарных невязок на сходимость траекторий агентов;
- 3) агрегированное описание преобразования (пересчета) суммарных невязок при переходе из периода в период;
- 4) агрегированное описание динамики (оценка) суммарных невязок по совокупности временных периодов;
- 5) формирование условий сходимости к равновесию траекторий агентов с использованием агрегированной оценки динамики модели коллективного поведения.

Интуитивно понятно, что агрегаты предпочтительнее формировать из однородных элементов. В идеальном случае однородные агенты могут различаться лишь их выбором параметра  $\gamma$ . Исследуем возможность такого случая для модели рынка (1)–(4) и процесса (5)–(6).

С этой задачи начнем следующий раздел.

### 3. Методы и результаты исследования

Пусть процесс (5)–(6) для модели (1)–(4) сходится при наборах параметров шагов  $\{\gamma_i^{t+1}\}$  ( $i \in N; t = 0, 1, 2, \dots$ ) и предельных издержках агентов  $c = (c_1, \dots, c_i, \dots, c_n)$ .

Будет ли при тех же параметрах шагов сходиться этот процесс, если меняются предельные издержки агентов или параметры рынка?

С целью ответа на этот вопрос введем следующую замену переменных:

$$(7) \quad \varepsilon_i^t = q_i^* - q_i^t \quad (i \in N; t = 0, 1, 2, \dots).$$

Здесь  $q_i^*$  – равновесный,  $q_i^t$  – текущий выпуск  $i$ -го агента.

Используя известные для равновесия Курно соотношения  $h_i = Q^* + q_i^*$ , преобразуем (5)–(6). Имеем

$$\begin{aligned} q_i^* - q_i^{t+1} &= q_i^* - q_i^t - \gamma_i^{t+1} \left( \frac{h_i - Q_{-i}^t}{2} - q_i^t \right) = \\ &= q_i^* - q_i^t - \gamma_i^{t+1} \left( \frac{Q^* + q_i^* - Q_{-i}^t}{2} - q_i^t \right) = \\ &= q_i^* - q_i^t - \gamma_i^{t+1} \left( \frac{\sum_{j \neq i} (q_j^* - q_j^t) + 2q_i^*}{2} - q_i^t \right). \end{aligned}$$

Окончательно

$$(8) \quad \varepsilon_i^{t+1} = \varepsilon_i^t + \gamma_i^{t+1} \left( -\frac{\sum_{j \neq i} \varepsilon_j^t}{2} - \varepsilon_i^t \right).$$

Здесь, по аналогии с (1)–(6), текущее положение цели  $i$ -го агента равно  $\left( -\frac{\sum_{j \neq i} \varepsilon_j^t}{2} \right)$ , а (8) является моделью индикаторного поведения агента, если его целевая функция имеет вид

$$(9) \quad \Pi_i(\varepsilon) = - \left( \sum_{j \in N} \varepsilon_j \right) \varepsilon_i \rightarrow \max_{\varepsilon_i}.$$

Здесь  $\varepsilon = (\varepsilon_1, \dots, \varepsilon_i, \dots, \varepsilon_n)$ .

Покажем это. По (9) для  $t$ -го момента времени находим оптимальные невязки  $i$ -го агента. Имеем

$$\frac{\partial \Pi_i^t}{\partial \varepsilon_i^t} = -\varepsilon_i^t - \sum_{j \in N \setminus \{i\}} \varepsilon_j^t - \left( 1 + \frac{\partial \sum_{j \in N \setminus \{i\}} \varepsilon_j^t}{\partial \varepsilon_i^t} \right) \varepsilon_i^t.$$

Отсюда

$$\varepsilon_i^t = - \sum_{j \in N \setminus \{i\}} \varepsilon_j^t / \left( 2 + \frac{\partial \sum_{j \in N \setminus \{i\}} \varepsilon_j^t}{\partial \varepsilon_i^t} \right).$$

По предположению Курно окружение агента не изменит свой выпуск, если он сам сделает это. Очевидно, что это предположение относится и к невязкам. Поэтому  $\frac{\partial \sum_{j \in N \setminus \{i\}} \varepsilon_j^t}{\partial \varepsilon_i^t} = 0$  и его положение цели (оптимальные невязки на текущий момент времени) составит  $\left( -\frac{\sum_{j \in N \setminus \{i\}} \varepsilon_j^t}{2} \right)$ .

Для модели (8) под траекторией  $i$ -го агента будем понимать реализованную по этой модели последовательность невязок  $\varepsilon_i^0, \varepsilon_i^1, \dots, \varepsilon_i^t, \dots$ .

Сходимость (8) означает, что  $\varepsilon_i^t \rightarrow \varepsilon_i^* = 0$  при  $t \rightarrow \infty$ .

*Утверждение 1. Процесс индикаторного поведения (8) сходится тогда и только тогда, когда сходится процесс (5)–(6) для модели (1)–(4).*

Доказательство этого утверждения приведено в Приложении.

Следующее утверждение показывает, что для сходимости траектории невязок каждого из агентов достаточно сходимости траектории суммарных невязок всех агентов.

*Утверждение 2. Если  $\sum_{j \in N} \varepsilon_j^t \rightarrow 0$  при  $t \rightarrow \infty$ , то  $\varepsilon_j^t \rightarrow \varepsilon_j^* = 0 \forall j \in N$ .*

Доказательство этого утверждения, основанное на методе математической индукции, приведено в Приложении.

*Примечание.* Из равенства  $\sum_{j \in N} \varepsilon_j^t = 0$  по (8) следуют равенства  $|\varepsilon_j^{t+1}| = (1 - \gamma_j^{t+1}/2)|\varepsilon_j^t|$  и неравенства  $|\varepsilon_j^{t+1}| < |\varepsilon_j^t|$  при  $\gamma_j^{t+1} \neq 0 \forall j \in N$ , которые указывают на то, что в этом случае траектории всех агентов в  $(t + 1)$ -м периоде будут ближе к положению равновесия, чем в  $t$ -м периоде.

Итоговый результат для модели (1)–(6), по сути являющийся следствием утверждения 1, представлен в следующей теореме.

*Теорема 1. В линейной модели Курно (1)–(4) с конкурентоспособными агентами параметры рынка  $a$  и  $b$ , параметры агентов  $c_i$  и  $d_i$  не влияют на условия на величины шагов  $\{\gamma_i^t\}_{t=1,2,\dots}$ , обеспечивающие сходимость модели индикаторного поведения (5)–(6).*

Отметим преимущества в исследовании проблемы достижения равновесия на основе модели (8):

- модель безразлична к параметрам рынка и затрат агентов  $(a, b, c_i, d_i)$ , что дает возможность упростить исследование;
- агенты и их траектории различаются лишь выбором параметра  $\gamma$  и начальными данными. При этом значение имеет только первое, так как интересуют условия сходимости при любых начальных данных;
- с точки зрения экономических ограничений могут предъявляться требования к неотрицательности текущих выпусков агентов в модели (5)–(6). В модели (8) для подобных требований к невязкам нет оснований.

Перейдем к следующей задаче, которая, согласно утверждению 2, имеет важное значение для сходимости траектории каждого из агентов. Обсудим условия на параметры  $\gamma$ , при которых  $\sum_{j \in N} \varepsilon_j^t \rightarrow 0$ .

По (8) имеем, что  $\sum_{j \in N} \varepsilon_j^{t+1} = \left(1 - \sum_{j \in N} \gamma_j^{t+1}/2\right) \sum_{j \in N} \varepsilon_j^{t+1} - \sum_{j \in N} \varepsilon_j^t \gamma_j^{t+1}/2$ .

При  $\gamma_j^{t+1} \equiv 1 \quad \forall j \in N$  имеем  $\sum_{j \in N} \varepsilon_j^{t+1} = (1 - (1+n)/2) \sum_{j \in N} \varepsilon_j^{t+1}$ .

При  $\gamma_j^{t+1} \equiv 0 \quad \forall j \in N$  будет, что  $\sum_{j \in N} \varepsilon_j^{t+1} = \sum_{j \in N} \varepsilon_j^t$ .

Таким образом, если  $\sum_{j \in N} \varepsilon_j^t \neq 0$ , то существует такое значение параметра  $\tilde{\gamma}^{t+1}$ , что

$$(10) \quad \sum_{j \in N} \varepsilon_j^{t+1} = (1 - \tilde{\gamma}^{t+1}(1+n)/2) \sum_{j \in N} \varepsilon_j^t.$$

При этом значение параметра  $\tilde{\gamma}^{t+1}$  определяется из соотношения

$$(11) \quad \tilde{\gamma}^{t+1} = \left( \sum_{j \in N} \gamma_j^{t+1} + \sum_{j \in N} \gamma_j^{t+1} \varepsilon_j^t / \sum_{j \in N} \varepsilon_j^t \right) / (1+n).$$

Здесь  $\tilde{\gamma}^{t+1}$  является средним арифметическим взвешенным набора параметров  $\{\gamma_j^{t+1}\}_{j \in N}$  с весами  $\{\omega_j^t\}_{j \in N}$ , т.е.  $\tilde{\gamma}^{t+1} = \frac{\sum_{j \in N} \omega_j^t \gamma_j^{t+1}}{\sum_{j \in N} \omega_j^t}$  и веса являются вещественными числами вида  $\omega_i^t = \sum_{j \in N} \varepsilon_j^t + \varepsilon_i^t$ .

«Отрицательный» вклад агента в параметр  $\tilde{\gamma}^{t+1}$  возможен в тех случаях, если знак его невязок не совпадает со знаком совокупных невязок всех агентов  $\sum_{j \in N} \varepsilon_j^t = Q^* - Q^t$ .

Фиксируем некоторые периоды времени  $t_0, \tau$  и  $\tau > t_0$ . Далее, полагая, что  $\sum_{j \in N} \varepsilon_j^{t_0} \neq 0$  и  $\tilde{\gamma}^t \neq \frac{2}{1+n}$  (случай, когда  $\tilde{\gamma}^t = \frac{2}{1+n}$  и соответственно  $\sum_{j \in N} \varepsilon_j^t = 0$ , учтены в примечании к утверждению 2), при  $t_0 + 1 \leq t \leq \tau$  по (10) последовательно получаем

$$(12) \quad \sum_{j \in N} \varepsilon_j^{t_0+\tau} = \sum_{j \in N} \varepsilon_j^{t_0} \prod_{t=t_0+1}^{\tau} (1 - \tilde{\gamma}^t(1+n)/2).$$

Введем обозначения:

$$T = \{t_0 + 1, \dots, \tau\}, \quad T_+ = \{t \in T | 1 - \tilde{\gamma}^t(1+n)/2 > 0\}, \\ T_- = \{t \in T | 1 - \tilde{\gamma}^t(1+n)/2 < 0\}.$$

В отдельные периоды из множества  $T_+$  могут иметь место два случая возможных неравенств:  $1 \leq 1 - \tilde{\gamma}^t(1+n)/2$  (если  $\tilde{\gamma}^t \leq 0$ ) и  $0 < \tilde{\gamma}^t(1+n)/2 < 1$  (если  $0 < \tilde{\gamma}^t < \frac{2}{1+n}$ ). Первый случай является «неблагоприятным», а второй «благоприятным» для сходимости процесса. Аналогично, в множестве  $T_-$  также возможны «благоприятные» периоды, когда  $-1 < 1 - \tilde{\gamma}^t(1+n)/2 < 0$  (если  $\frac{2}{1+n} < \tilde{\gamma}^t < \frac{4}{1+n}$ ), и «неблагоприятные» периоды, когда  $1 - \tilde{\gamma}^t(1+n)/2 < -1$  (если  $\frac{4}{1+n} \leq \tilde{\gamma}^t$ ).

Используя неравенство Коши между средним арифметическим и средним геометрическим, имеем:

$$\prod_{t \in T_+} (1 - \tilde{\gamma}^t(1+n)/2) \leq \left[ \frac{1}{t_+} \sum_{t \in T_+} (1 - \tilde{\gamma}^t(1+n)/2) \right]^{t_+} = [1 - \bar{\tilde{\gamma}}_+^\tau(1+n)/2]^{t_+},$$

$$\prod_{t \in T_-} (\tilde{\gamma}^t(1+n)/2 - 1) \leq \left[ \frac{1}{t_-} \sum_{t \in T_-} (\tilde{\gamma}^t(1+n)/2 - 1) \right]^{t_-} = [\bar{\tilde{\gamma}}_-^\tau(1+n)/2 - 1]^{t_-}.$$

Здесь:  $\bar{\tilde{\gamma}}_+^\tau = \frac{1}{t_+} \sum_{t \in T_+} \tilde{\gamma}^t$ ,  $\bar{\tilde{\gamma}}_-^\tau = \frac{1}{t_-} \sum_{t \in T_-} \tilde{\gamma}^t$  – средние значения  $\tilde{\gamma}^t$  взвешенного параметра  $\tilde{\gamma}^t$  по множествам  $T_+$  и  $T_-$  соответственно;  $t_+(t_-)$  – число периодов в множестве  $T_+(T_-)$ ,  $\tau = t_+ + t_-$ .

Отсюда по (12) получаем, что

$$(13) \quad \left| \sum_{j \in N} \varepsilon_j^{t_0 + \tau} \right| \leq [1 - \bar{\tilde{\gamma}}_+^\tau(1+n)/2]^{t_+} |1 - \bar{\tilde{\gamma}}_-^\tau(1+n)/2|^{t_-} \left| \sum_{j \in N} \varepsilon_j^{t_0} \right|.$$

Неравенство (13) и утверждение 2 позволяют сформулировать следующее утверждение о сходимости процесса (8).

*Утверждение 3. Модель (8) сходится к положению равновесия, если для произвольного  $t_0$  и  $\tau > t_0$  выражение  $[1 - \bar{\tilde{\gamma}}_+^\tau(1+n)/2]^{t_+} |1 - \bar{\tilde{\gamma}}_-^\tau(1+n)/2|^{t_-}$  ( $\tau = t_+ + t_-$ ) стремится к нулю при  $\tau \rightarrow \infty$ .*

*Следствие 1. Если  $\exists t_0$  такое что  $0 < \bar{\tilde{\gamma}}_+^\tau$  и  $\bar{\tilde{\gamma}}_-^\tau < \frac{4}{n+1} \quad \forall \tau > t_0$ , то модель (8) сходится к равновесию.*

Поясним справедливость этого следствия. Если  $t \in T_+$ , то всегда  $\tilde{\gamma}^t < \frac{2}{1+n}$  и  $\bar{\tilde{\gamma}}_+^\tau < \frac{2}{1+n}$ . Если  $t \in T_-$ , то всегда  $\tilde{\gamma}^t > \frac{2}{1+n}$  и поэтому  $\bar{\tilde{\gamma}}_-^\tau > \frac{2}{1+n}$ . Поэтому, чтобы выполнялись неравенства  $[1 - \bar{\tilde{\gamma}}_+^\tau(1+n)/2] < 1$  и  $|1 - \bar{\tilde{\gamma}}_-^\tau(1+n)/2| < 1$ , достаточно потребовать, чтобы  $0 < \bar{\tilde{\gamma}}_+^\tau$  и  $\bar{\tilde{\gamma}}_-^\tau < \frac{4}{1+n}$ .

Также из утверждений 1 и 3 следует, что для тех наборов параметров  $\{\gamma_i^t\}$ , для осредненных оценок которых выполняются неравенства  $0 < \bar{\tilde{\gamma}}_+^\tau$  и  $\bar{\tilde{\gamma}}_-^\tau < \frac{4}{1+n}$ , сходится модель (5)–(6).

*Следствие 2. Пусть параметры  $\tilde{\gamma}^t \quad t = (1, 2, \dots, \tau)$  – случайные величины, и  $\bar{\tilde{\gamma}}^\tau = \frac{1}{\tau} \sum_{t=1}^{\tau} \tilde{\gamma}^t$  по вероятности сходится к общему среднему  $\bar{\tilde{\gamma}}$ . Тогда модель (8) по вероятности сходится к равновесию при  $\tau \rightarrow \infty$ , если  $\bar{\tilde{\gamma}} < \frac{4}{1+n}$ .*

*Пример фрагмента численного расчета.* Положим в модели (1)–(3)  $n = 4$ ,  $a = 100$ ,  $b = 0,1$ ,  $c = (20; 25; 20; 30)$ ,  $q^0 = (250; 250; 100; 200)$ . Постоянные издержки для всех агентов равны и составляют 500. По формуле  $h_i = \frac{a-c_i}{b}$  имеем, что  $h = (800; 750; 800; 700)$ .

При полной информированности агентов статичное равновесие Нэша  $q^*$  является решением системы линейных алгебраических уравнений вида  $q_i + Q = h_i \quad (i = \overline{1, 4})$ . Имеем, что  $q_i^* = h_i - \frac{1}{5} \sum_{j=1}^4 h_j$  и  $q^* = (190; 140; 190; 90)$ .



Фрагмент динамики при  $n = 4$

Такты	Невязки действий агентов				Параметры шагов				$\sum \varepsilon_j$	$\tilde{\gamma}$	$\bar{\gamma}_+$	$\bar{\gamma}_-$
	$\varepsilon_1$	$\varepsilon_2$	$\varepsilon_3$	$\varepsilon_4$	$\gamma_1$	$\gamma_2$	$\gamma_3$	$\gamma_4$				
$t$	2	3	4	5	6	7	8	9	10	11	12	13
0	-60,0	-110,0	90,0	-110,0					-190,0			
1	-10,0	-65,0	105,0	-72,5	0,40	0,30	0,30	0,25	-42,5	0,31	0,31	
2	0,5	-48,9	95,6	-61,0	0,40	0,30	0,30	0,20	-13,8	0,27	0,29	
3	3,2	-39,5	62,9	-51,7	0,40	0,30	0,80	0,25	-25,1	-0,33	0,08	
4	7,5	-29,8	57,2	-42,1	0,40	0,30	0,30	0,25	-7,1	0,29	0,13	
5	7,5	-22,4	39,7	-35,9	0,40	0,40	0,70	0,25	-11,2	-0,23	0,06	
6	8,2	-15,7	35,4	-30,0	0,40	0,40	0,30	0,25	-2,1	0,32	0,11	
7	6,1	-13,0	30,4	-26,0	0,70	0,30	0,30	0,25	-2,5	-0,08	0,08	
8	5,4	-9,9	26,2	-22,4	0,40	0,40	0,30	0,25	-0,7	0,28	0,10	
9	5,1	-8,3	22,4	-19,5	0,10	0,30	0,30	0,25	-0,3	0,24	0,12	
10	4,7	-7,0	19,1	-17,1	0,20	0,30	0,30	0,25	-0,3	-0,03	0,10	
11	3,4	-3,3	14,4	-10,1	0,60	1,00	0,50	0,80	4,3	5,61		5,61
12	-0,5	-3,8	5,0	-7,2	1,00	1,00	1,00	1,00	-6,5	1,00		3,31
13	3,0	1,3	5,4	-0,4	1,00	1,00	0,50	1,00	9,3	0,98		2,53
14	-3,2	-4,0	-2,0	-4,9	1,00	1,00	1,00	1,00	-14,0	1,00		2,15
15	5,4	5,0	6,0	4,6	1,00	1,00	1,00	1,00	21,0	1,00		1,92
16	-7,8	-8,0	-7,5	-8,2	1,00	1,00	1,00	1,00	-31,5	1,00		1,77
17	11,9	11,8	12,0	11,7	1,00	1,00	1,00	1,00	47,3	1,00		1,66
18	-17,7	-17,8	-17,6	-17,8	1,00	1,00	1,00	1,00	-71,0	1,00		1,57
19	26,6	26,6	26,7	26,6	1,00	1,00	1,00	1,00	106,5	1,00		1,51
20	-39,9	-6,7	-26,6	-39,9	1,00	0,50	0,80	1,00	-113,1	0,82		1,44
21	36,6	23,3	8,3	36,6	1,00	0,50	0,50	1,00	104,8	0,77		0,77
22	-34,1	-8,7	-19,9	-34,1	1,00	0,50	0,50	1,00	-96,9	0,77		0,77
23	31,4	17,7	9,3	31,4	1,00	0,50	0,50	1,00	89,7	0,77		0,77
24	-11,0	-9,2	-15,5	-29,2	0,70	0,50	0,50	1,00	-64,8	0,69		0,75
25	26,9	9,3	4,6	-5,7	1,00	0,50	0,50	0,50	35,2	0,62		0,72
26	-4,1	-1,8	-5,3	-20,4	1,00	0,50	0,50	1,00	-31,7	0,76		0,73
27	13,8	6,6	3,9	5,6	1,00	0,50	0,50	1,00	29,9	0,78		0,74
28	5,0	-2,5	-4,5	-12,1	0,40	0,50	0,50	1,00	-14,2	0,59		0,72
29	9,6	1,6	0,1	1,0	1,00	0,50	0,50	1,00	12,4	0,75		0,72
30	-1,4	-1,9	-3,0	-5,7	1,00	0,50	0,50	1,00	-12,0	0,79		0,73

Примечание: обозначения показателей в шапке таблицы даны без индекса « $t$ », предполагая под этим индексом номер такта (периода, итерации).

Переход к модели (8) осуществляется, используя формулу расчета невязок  $\varepsilon_i^t = q_i^* - q_i^t$ . Имеем  $\varepsilon^0 = (-60; -110; 90; -110)$ .

По текущим значениям невязок  $\varepsilon_i^t$  (столбцы 2–5 таблицы) и текущим значениям параметров  $\gamma_i^t$  (столбцы 6–9 таблицы), по формулам (8) и (11) по каждому такту (столбец 1) приведены расчеты средних арифметических взвешенных  $\tilde{\gamma}^t$  наборов параметров  $\{\gamma_j^t\}$  (столбец 11).

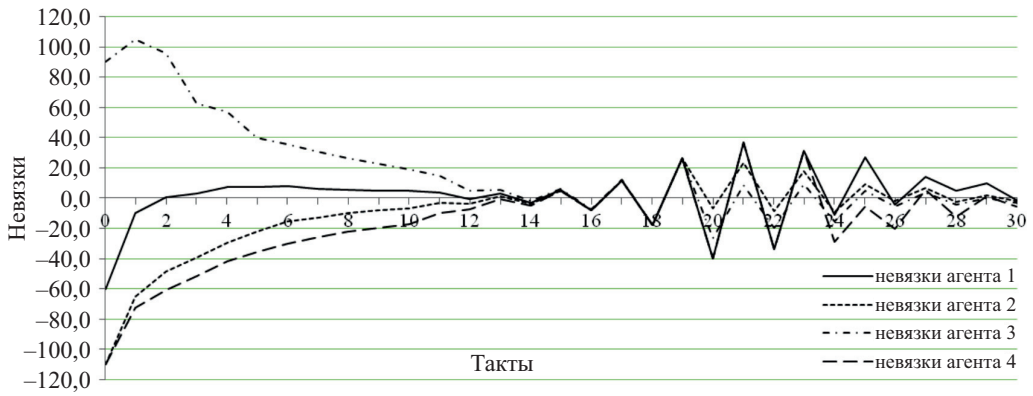


Рис. 1. Динамика невязок действий отдельных агентов.

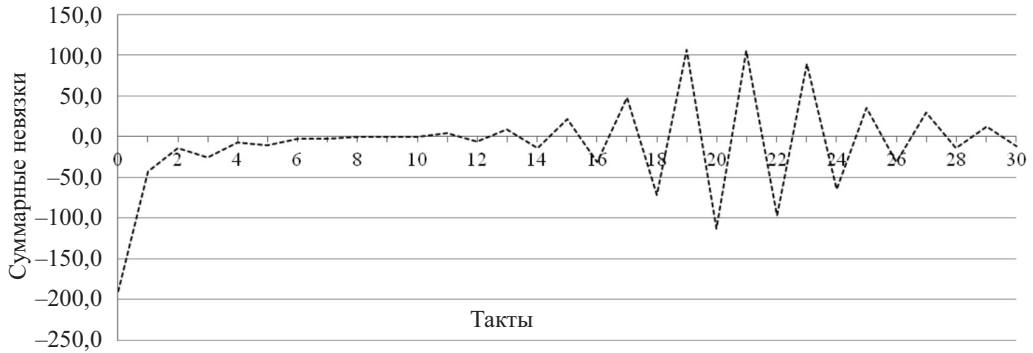


Рис. 2. Динамика суммарных невязок.

Сходимость процесса зависит от того, какие шаги  $\gamma$  выбирают агенты. Известно, что если агенты делают максимальные (равные единице) шаги  $\gamma$ , то процесс сходится только при  $n = 2$ . При  $n = 4$  процесс расходится, если все агенты делают шаги, превышающие 0,8. В общем случае при  $n = 4$  вопрос о сходимости остается открытым, если агенты действуют разнонаправленно: одни выбирают шаги больше 0,8, другие меньше.

Для большей наглядности введенных авторами статьи условий, как средства для индикации сходимости процесса, выделено три промежутка по десять тактов в каждом. В первых десяти тактах агенты намеренно делают небольшие шаги, чтобы гарантировать сходимость. В следующих десяти тактах делают большие шаги, чтобы показать расходимость процесса. В заключительные десять тактов процесс опять сделан сходящимся за счет того, что не все агенты делают большие шаги.

Рассмотрим подробнее динамику процесса. В каждом из первых десяти тактов динамики средние взвешенные  $\tilde{\gamma}^t$  не превосходят  $2/(1+n) = 0,4$  (есть и два отрицательных значения), а агрегированная оценка  $\tilde{\gamma}_+^t$  (их *среднее арифметическое* за  $t$  тактов – см. столбец 12) находится в диапазоне  $(0; 0,4)$ . Поэтому имеет место тенденция к уменьшению суммарных невязок по абсо-

лютой величине: было  $\varepsilon^0 = (-60; -110; 90; -110)$  и  $\left| \sum_{j=1}^4 \varepsilon_j^0 \right| = 190$ , стало в десятом такте  $\varepsilon^{10} = (4,7; -7,0; 19,1; -17,1)$  и  $\left| \sum_{j=1}^4 \varepsilon_j^{10} \right| = 0,3$ .

Следующие десять тактов (с одиннадцатого по двадцатый)  $\tilde{\gamma}^t$  и агрегированная оценка динамики  $\tilde{\gamma}^T$  (столбец 13) превосходят  $4/(1+n) = 0,8$  что обуславливает тенденцию к увеличению по абсолютной величине суммарных невязок. Стало  $\varepsilon^{20} = (-39,9; -6,7; -26,6; -39,9)$  и  $\left| \sum_{j=1}^4 \varepsilon_j^{20} \right| = 113,1$ .

С двадцать первого по тридцатый такты средние *арифметические взвешенные*  $\tilde{\gamma}^t$  и их *среднее арифметическое*  $\tilde{\gamma}^T$  находятся в диапазоне  $(0,4; 0,8)$ , что означает выполнение условий сходимости по утверждению 3 и его следствию 1 при  $t_0 = 21$ , и обуславливает тенденцию к уменьшению суммарных невязок. Действительно, стало  $\varepsilon^{30} = (-1,4; -1,9; -3,0; -5,7)$  и  $\left| \sum_{j=1}^4 \varepsilon_j^{30} \right| = 12,0$ .

Имеем также  $\bar{\gamma}^{30} = \frac{1}{30} \sum_{t=1}^{30} \tilde{\gamma}^t = 0,76$ . По данным таблицы динамика движется к теоретическому статичному равновесия Нэша.

На рис. 1 и рис. 2 наглядно видна «синхронизация» динамик частных и суммарных издержек. Очевидно, если сходятся невязки каждого из агентов, то сходятся их суммарные невязки. Но из утверждения 2 следует и обратное: из сходимости к нулю суммарных невязок следует сходимость к нулю невязок каждого из агентов.

#### 4. Заключение

Особенность и новизна проведенного здесь исследования проблемы выявления условий сходимости к равновесию моделей коллективного поведения состоит в следующем. Традиционно, такие условия формулируются в виде диапазонов на значения параметров  $\gamma$  для каждого из агентов в каждом периоде: если каждый агент в каждом периоде выбирает свой параметр в таком диапазоне, то динамика гарантированно сходится. Здесь же условия сходимости формулируются по совокупности периодов (т.е. за временной промежуток) в виде диапазона на *среднее арифметическое значение параметров*, которые представляют собой *средние арифметические взвешенные* набора  $\{\gamma_j^t\}_{j \in N}$  по каждому периоду  $t$  входящим в совокупность. Если среднее по совокупности периодов входит в диапазон, то динамика каждого из агентов приближается к положению равновесия. Если при этом совокупность периодов неограниченна, то динамика каждого из агентов гарантированно сходится к равновесию.

#### ПРИЛОЖЕНИЕ

*Доказательство утверждения 1.* Вначале отметим, что статическое равновесие Нэша в модели (9) существует, единственно и  $\varepsilon_i^* = 0 \quad \forall i \in N$ .

Справедливость утверждения 1 следует из того факта, что один процесс получается из другого преобразованием на основе невязок в качестве замены

переменных. Поэтому из сходимости процесса (5)–(6) сходимость (8) следует непосредственно.

Покажем также, основываясь на методе математической индукции, что из сходимости процесса (8) следует сходимость процесса (5)–(6).

Пусть  $\varepsilon^0$  – вектор начальных условий процесса (8), при которых он сходится. Определим вектор начальных условий процесса (5)–(6) как  $q^0 = q^* - \varepsilon^0$ . Рассчитаем  $\varepsilon^1$  по (8). С учетом  $h_i = Q^* + q_i^*$  и (6) покажем, что  $q^1 = q^* - \varepsilon^1$ . Имеем:

$$\begin{aligned}
 q_i^* - \varepsilon_i^1 &= q_i^* - \varepsilon_i^0 - \gamma_i^1 \left( -\frac{\sum_{j \neq i} \varepsilon_j^0}{2} - \varepsilon_i^0 \right) = \\
 &= q_i^0 - \gamma_i^1 \left( -\frac{\sum_{j \neq i} (q_j^* - q_j^0)}{2} - (q_i^* - q_i^0) \right) = \\
 &= q_i^0 + \gamma_i^1 \left( \frac{2q_i^* + \sum_{j \neq i} (q_j^* - q_j^0)}{2} - q_i^0 \right) = \\
 &= q_i^0 + \gamma_i^1 \left( \frac{Q^* + q_i^* - \sum_{j \neq i} q_j^0}{2} - q_i^0 \right) = \\
 &= q_i^0 + \gamma_i^1 \left( \frac{h_i - \sum_{j \neq i} q_j^0}{2} - q_i^0 \right) = q_i^0 + \gamma_i^1 (x_i(q_{-i}^0) - q_i^0) = q_i^1.
 \end{aligned}$$

Аналогично показывается, что из  $q^t = q^* - \varepsilon^t$  следует  $q^{t+1} = q^* - \varepsilon^{t+1}$ , если  $\varepsilon^{t+1}$  рассчитывается по (8). Поэтому, если  $\varepsilon^t \rightarrow 0$ , то  $q^t \rightarrow q^*$ .

Утверждение 1 доказано.

*Доказательство утверждения 2.* Пусть  $\sum_{j \in N} \varepsilon_j^t \rightarrow 0$ . Тогда  $\forall \delta > 0 \exists t'$ , что при  $t > t'$  будет выполняться  $\left| \sum_{j \in N} \varepsilon_j^t \right| < \delta$ .

Положим  $t = t' + 1$ . Тогда по (8):

$$\begin{aligned}
 \left| \varepsilon_i^{t+1} \right| &\leq (1 - \gamma_i^{t+1}/2) \left| \varepsilon_i^t \right| + \gamma_i^{t+1}/2 \left| \sum_{j \in N} \varepsilon_j^t \right| < \\
 &< (1 - \gamma_i^{t+1}/2) \left| \varepsilon_i^t \right| + \delta \gamma_i^{t+1}/2 < (1 - \gamma_i^{t+1}/2) \left| \varepsilon_i^t \right| + \delta.
 \end{aligned}$$

Опять по (8), используя предыдущее неравенство, имеем:

$$\begin{aligned}
 \left| \varepsilon_i^{t+2} \right| &\leq (1 - \gamma_i^{t+2}/2) \left| \varepsilon_i^{t+1} \right| + \gamma_i^{t+2}/2 \left| \sum_{j \in N} \varepsilon_j^{t+1} \right| < \\
 &< (1 - \gamma_i^{t+2}/2) \left| \varepsilon_i^{t+1} \right| + \delta \gamma_i^{t+2}/2 < \\
 &< (1 - \gamma_i^{t+2}/2)(1 - \gamma_i^{t+1}/2) \left| \varepsilon_i^t \right| + [(1 - \gamma_i^{t+2}/2) + \gamma_i^{t+2}/2] \delta < \\
 &< (1 - \gamma_i^{t+2}/2)(1 - \gamma_i^{t+1}/2) \left| \varepsilon_i^t \right| + \delta.
 \end{aligned}$$

Следуя методу математической индукции, предположим, что в некоторый  $(t + m)$ -й период имеет место неравенство

$$|\varepsilon_i^{t+m}| < |\varepsilon_i^t| \times \prod_{l=1}^m (1 - \gamma_i^{t+l}/2) + \delta.$$

По (8) с учетом последнего неравенства:

$$\begin{aligned} |\varepsilon_i^{t+m+1}| &\leq (1 - \gamma_i^{t+m+1}/2) |\varepsilon_i^{t+m}| + \gamma_i^{t+m+1}/2 \left| \sum_{j \in N} \varepsilon_j^{t+m} \right| < \\ &< (1 - \gamma_i^{t+m+1}/2) |\varepsilon_i^{t+m}| + \delta \gamma_i^{t+m+1}/2 < \\ &< (1 - \gamma_i^{t+m+1}/2) \left[ |\varepsilon_i^t| \times \prod_{l=1}^m (1 - \gamma_i^{t+l}/2) + \delta \right] + \delta \gamma_i^{t+m+1} = \\ &= |\varepsilon_i^t| \times \prod_{l=1}^{m+1} (1 - \gamma_i^{t+l}/2) + \delta. \end{aligned}$$

То есть такое же неравенство имеет место и для  $(t + m + 1)$ -го периода.

В полученных для каждого периода неравенствах первое слагаемое стремится к нулю при  $m \rightarrow \infty$  и  $\gamma \neq 0$ , а число  $\delta$  может быть сколь угодно малым, что указывает на справедливость доказываемого утверждения.

Утверждение 2 доказано.

## СПИСОК ЛИТЕРАТУРЫ

1. *Cournot A.* Researches into the Mathematical Principles of the Theory of Wealth. London: Hafner, 1960. (Original 1838.)
2. *Гераськин М.И.* Обзор новейших достижений в теории игр олигополии // *АиТ.* 2023. № 6. С. 3–25.  
*Geraskin M.I.* A Survey of the Latest Advances in Oligopoly Games // *Autom. Remote Control.* 2023. V. 84. No. 6. P. 565–578.
3. *Novikov D.A., Chkhartishvili A.G.* Reflexion and Control: Mathematical Models. Leiden: CRC Press, 2014.
4. *Опоицев В.И.* Равновесие и устойчивость в моделях коллективного поведения. М.: Наука, 1977.
5. *Гераськин М.И.* Рефлексивный анализ равновесий в игре триполии при линейных функциях издержек агентов // *АиТ.* 2022. № 3. С. 110–131.  
*Geraskin M.I.* Reflexive Analysis of Equilibria in a Triopoly Game with Linear Cost Functions of the Agents // *Autom. Remote Control.* 2022. V. 83. No. 3. P. 389–406.
6. *Ougolnitsky G., Korolev A.* Game-Theoretic Models of Coopetition in Cournot Oligopoly // *Stats.* 2023. No. 6. P. 576–595. <https://doi.org/10.3390/stats602003>
7. *Угольницкий Г.А., Усов А.Б.* Сравнительный анализ эффективности способов организации взаимодействия экономических агентов в моделях дуополии Курно с учетом экологических условий // *АиТ.* 2023. № 2. С. 150–168.

- Ougolnitsky G.A., Usov A.B.* The Interaction of Economic Agents in Cournot Duopoly Models under Ecological Conditions: A Comparison of Organizational Modes // *Autom. Remote Control*. 2023. V. 84. No. 2. P. 175–189.
8. *Fedyanin D.N.* Monotonicity of Equilibriums in Cournot Competition with Mixed Interactions of Agents and Epistemic Models of Uncertain Market // *Procedia Comput. Sci.* 2021. V. 186(3). P. 411–417.
  9. *Скаржинская Е.М., Цуриков В.И.* Влияние личностных качеств агентов на экзогенное формирование лидерства по Штакельбергу в модели коллективных действий // *Экономика и математические методы*. 2022. № 4. С. 113–122.
  10. *Алгазин Г.И., Алгазина Ю.Г.* К аналитическому исследованию условий сходимости процессов рефлексивного коллективного поведения в моделях олигополии // *АиТ*. 2022. № 3. С. 84–109.  
*Algazin G.I., Algazina Yu.G.* To the Analytical Investigation of the Convergence Conditions of the Processes of Reflexive Collective Behavior in Oligopoly Models // *Autom. Remote Control*. 2022. V. 83. No. 3. P. 367–388.
  11. *Askar S.* On Complex Dynamics of Cournot-Bertrand Game with Asymmetric Market Information // *Appl. Math. Comput.* 2021. V. 393(3).  
<https://doi.org/10.1016/j.amc.2020.125823>
  12. *Anderson S.P., Erkal N., Piccinin D.* Aggregative games and oligopoly theory: short-run and long-run analysis // *RAND J. Econom.* 2020. V. 51. No. 2. P. 470–495.
  13. *Wu R., Van Gorder R.A.* Nonlinear Dynamics of Discrete Time Multi-Level Leader-Follower Games // *Appl. Math. Comput.* 2018. V. 320. P. 240–250.
  14. *Zewde A.B., Kassa S.M.* Multilevel Multi-Leader Multiple-Follower Games with Non-separable Objectives and Shared Constraints // *Comput. Management Sci.* 2021. V. 18(4). P. 455–475.
  15. *Ueda M.* Effect of Information Asymmetry in Cournot Duopoly Game with Bounded Rationality // *Appl. Math. Comput.* 2019. V. 362.  
<https://doi.org/10.1016/j.amc.2019.06.049.124535>
  16. *Long J., Huang H.* A Dynamic Stackelberg-Cournot Duopoly Model with Heterogeneous Strategies through One-Way Spillovers // *Discret. Dynam. Natur. Soc.* 2020. V. 2. P. 1–11.
  17. *Nash J.* Non-Cooperative Games // *Ann. Math.* 1951. No. 54. P. 286–295.
  18. *Алгазин Г.И., Алгазина Ю.Г.* Рефлексивная динамика в условиях неопределенности олигополии Курно // *АиТ*. 2020. № 2. С. 115–133.  
*Algazin G.I., Algazina Yu.G.* Reflexive Dynamics in the Cournot Oligopoly under Uncertainty // *Autom. Remote Control*. 2020. V. 81. No. 2. P. 345–359.
  19. *Корепанов В.О.* Модели рефлексивного группового поведения и управления // М.: ИПУ РАН, 2011. 127 с.
  20. *Novikov D., Korepanov V., Chkhartishvili A.* Reflexion in Mathematical Models of Decision-Making // *Int. J. Parallel, Emergent Distributed Syst.* 2018. V. 33. No. 3. P. 319–335.
  21. *Малышевский А.В.* Качественные модели в теории сложных систем. М.: Наука, 1998.
  22. *Cornes R., Fiorini L.C., Maldonado W.L.* Expectational Stability in Aggregative Games // *J. Evolut. Econom.* 2021. V. 31. No. 1. P. 235–249.
  23. *Dzhabarova Y., Zlatanov B.A.* Note on the Market Equilibrium in Oligopoly with Three Industrial Players // *AIP. Conf. Proc.* 2022. 2449, 07001321.

24. Peng Y., Xiao Y., Lu Q., Wu X., Zhao Y. Chaotic Dynamics in Cournot Duopoly Model with Bounded Rationality Based on Relative Profit Delegation Maximization // *Physica A: Statist. Mech. Appl.* 2020. V. 560. 125174 p.
25. Алгазин Г.И., Алгазина Д.Г. Сходимость по норме динамики коллективного поведения в рефлексивной модели олигополии с лидерами // *Информатика и автоматизация.* 2023. Вып. 22(3). С. 616–646. <https://doi.org/10.15622/ia.22.3.5>
26. Скаржинская Е.М., Цуриков В.И. О возможности последовательного приближения к равновесию в коалиционной игре при повторении коллективных действий // *Экономика и математические методы.* 2020. № 4. С. 103–115.

*Статья представлена к публикации членом редколлегии Д.А. Новиковым.*

Поступила в редакцию 31.05.2024

После доработки 10.07.2024

Принята к публикации 25.07.2024